722

tometer PW 1051 gemessen. Die Gitterkonstanten wurden nach dem least-squares-Verfahren bei der Gesellschaft für wissenschaftliche Datenverarbeitung Göttingen auf einer UNIVAC 1108 errechnet. Die Messung der Raman-Spektren erfolgte an einem Coderg-

A. Müller, N. Weinstock, B. Krebs, B. Buss u. A. Ferwanah, Z. Naturforsch. 26 b, 268 [1971].

<sup>2</sup> vgl. A. Müller, Chimia [Zürich] 24, 346 [1970].

Raman-Spektrographen mit einem He-Ne-Laser der Firma O.I.P. Gent.

NOTIZEN

Wir danken der Deutschen Forschungsgemeinschaft und dem Fonds der Chemischen Industrie für finanzielle Unterstützung und die Bereitstellung von Sachmitteln.

 A. MÜLLER, E. DIEMANN u. U. HEIDBORN, Z. anorg. allg. Chem. 371, 136 [1969]; A. MÜLLER, N. WEINSTOCK u. H. SCHULZE, Spectrochim. Acta [London] [1972], im Druck.
A. MÜLLER u. E. DIEMANN, Chem. Ber. 102, 945 [1969].

## $\ddot{\textbf{U}} \textbf{bergangsmetallchalkogenverbindungen} \\ \ddot{\textbf{U}} \textbf{ber Verbindungen des Typs Cu}_{3}\textbf{TaS}_{x}\textbf{Se}_{4-x}$

Compounds of the Type Cu<sub>3</sub>TaS<sub>x</sub>Se<sub>4-x</sub>

A. MÜLLER und W. SIEVERT

Institut für Chemie der Universität Dortmund

(Z. Naturforsch. 27 b, 722-723 [1972]; eingegangen am 30. März 1972)

Nach röntgenographischen  $^{1,2}$  und spektroskopischen Untersuchungen  $^3$  von Verbindungen des Typs  $A_3 MeX_4$  (A = Tl, Cu; Me = V, Nb, Ta; X = S, Se) erschien es von Interesse, Verbindungen des Typs  $A_3 MeS_3 Se$ ,  $A_3 MeS_2 Se_2$  und  $A_3 MeSSe_3$  darzustellen und zu untersuchen. Die Interpretation der Schwingungsspektren der  $A_3 MeX_4$ -Verbindungen ergab, daß im Gegensatz zu den Thalliumchalkogenometallaten bei den Cu-Verbindungen keine isolierten Anionen vorliegen.

Analog zur Darstellung der im Sulvanit <sup>1</sup>-Typ kristallisierenden Verbindungen Cu<sub>3</sub>MeX<sub>4</sub> wurden stöchiometrische Mengen der Elemente in evakuierten Glasrohren 14 Tage auf 550° erhitzt. Die Reaktionsprodukte sind pulverförmig. Die Farbe ändert sich von Cu<sub>3</sub>TaS<sub>4</sub> (hell-gelbgrün) bis Cu<sub>3</sub>TaSe<sub>4</sub> (intensiv olivgrün) kontinuierlich.

Die Pulverdiffraktogramme aller Verbindungen zeigen intensive, scharfe Reflexe, die sich kubisch indizieren lassen. Als Beispiel ist das Pulverdiffraktogramm des Cu<sub>3</sub>TaS<sub>2</sub>Se<sub>2</sub> abgebildet (Abb. 1). Die Gitterkonstanten zeigen vom Cu<sub>3</sub>TaS<sub>4</sub> zum Cu<sub>3</sub>TaSe<sub>4</sub> einen linearen Gang bei steigendem Selenanteil der Formeleinheit. Diese Beobachtung läßt sich auch für das von Hulliger <sup>4</sup> beschriebene Cu<sub>3</sub>VS<sub>2</sub>Se<sub>2</sub> aufzeigen. Es wurde ferner festgestellt, daß auch die Reaktionsprodukte mit nicht-ganzzahligem S—Se-Verhältnis sich in diese Gesetzmäßigkeit einfügen (vgl. Tab. 1 und Abb. 2).

Vom Cu<sub>3</sub>TaSSe<sub>3</sub> konnten durch Jodid-Transport dungelgelbe, würfelförmige Einkristalle erhalten werden. Die durch Einkristallaufnahmen ermittelte Gitterkonstante bestätigt die aus Pulverdaten errechnete. Die Identität der Pulverdiffraktogramme bis auf die erwartungsgemäße Verschiebung der 2 Θ-Werte entsprechend den unterschiedlichen Gitterkonstanten deutet auf eine Quasi-Isotypie aller Verbindungen hin. Aus den experi-

Sonderdruckanforderungen an Prof. Dr. A. MÜLLER, Institut für Chemie, D-4600 Dortmund, August-Schmidt-Straße.

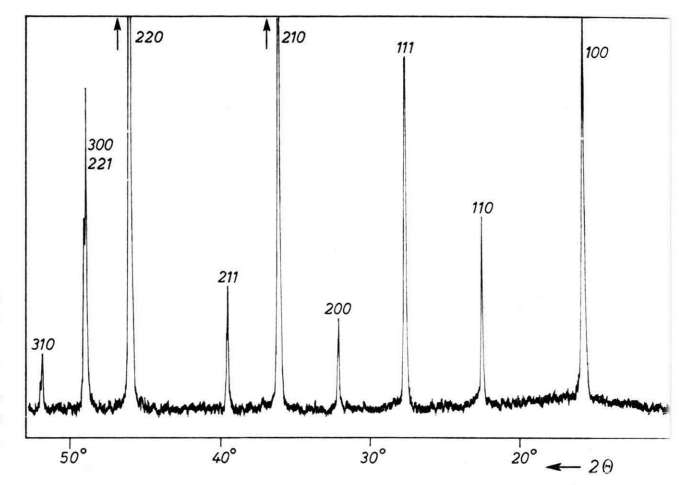


Abb. 1. Pulverdiffraktogramm von Cu<sub>3</sub>TaS<sub>9</sub>Se<sub>9</sub>.

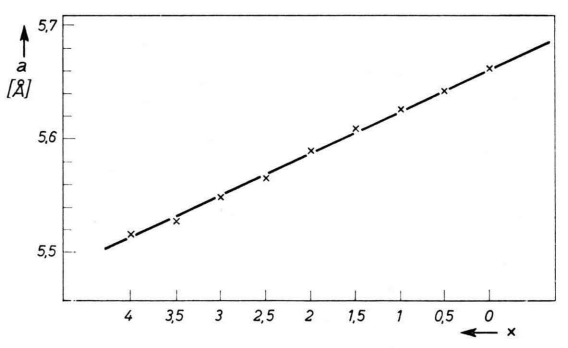


Abb. 2. Zunahme der Gitterkonstanten der Verbindungen  $Cu_3TaS_xSe_{4-x}\ mit\ steigendem\ Selenanteil.$ 

	[Å]	
Cu <sub>3</sub> TaS <sub>4</sub>	5,516	5,514 1
$Cu_3TaS_{3,5}Se_{0,5}$	5,528	
Cu <sub>3</sub> TaS <sub>3</sub> Se	5,550	
$Cu_3TaS_{2,5}Se_{1,5}$	5,567	
Cu <sub>3</sub> TaS <sub>2</sub> Se <sub>3</sub>	5,591	
$Cu_3TaS_{1,5}Se_{2,5}$	5,609	
Cu <sub>3</sub> TaSSe <sub>3</sub>	5,627	
$Cu_3TaS_{0.5}Se_{3.5}$	5,645	
Cu <sub>3</sub> TaSe <sub>4</sub>	5,664	5,664 1

Tab. 1. Gitterkonstanten der Verbindungen Cu<sub>3</sub>TaS<sub>x</sub>Se<sub>4-x</sub>.

**NOTIZEN** 723

mentellen Befunden kann auf eine statistische Verteilung der Schwefel- und Selenatome im Kristallgitter geschlossen werden.

Für die entsprechenden Verbindungen des Niobs ergeben sich die gleichen Beobachtungen. Auch hier zeigen die Gitterkonstanten einen linearen Gang mit stei-

<sup>1</sup> A. E. VAN ARKEL et C. CREVECOEUR, J. less-common Metals [Amsterdam] 5, 177 [1963]; F. HULLIGER, Helv. physica Acta 34, 379 [1961].

<sup>2</sup> C. Crevecoeur, Acta cristallogr. 17, 757 [1964].

liche Diskussion auch der schwingungsspektroskopischen Untersuchungen erfolgt an anderer Stelle. Wir danken der Deutschen Forschungsgemeinschaft und

gendem Selengehalt der Formeleinheit. Eine ausführ-

dem Fonds der Chemischen Industrie für finanzielle Unterstützung und die Bereitstellung von Sachmitteln.

<sup>3</sup> A. Müller, K. H. Schmidt, K. H. Tytko, J. Bouwma u. F. Jellinek, Spectrochim. Acta [London] 28 A, 381 [1972]; K. H. SCHMIDT, A. MÜLLER, J. BOUWMA u. F. JELLINEK, J. Mol. Structure 11, 275 [1972].

## Kupfer(II)-2-thiophencarboxylat-monohydrat

Copper (II) 2-Thiophenecarboxylate Monohydrate

J. Sokolík \*, J. Krätsmár-Šmogrovič \* und Š. ŠURKA \*\*

(Z. Naturforsch. 27 b, 723-724 [1972]; eingegangen am 17. Februar 1972)

Bei gleichen Bedingungen, die zur Entstehung des Kupfer (II) -2-furancarboxylattrihydrats 1 führen, entsteht durch die Reaktion der 2-Thiophencarboxylatund Cu2+-Ionen in der wäßrigen Lösung (pH  $\approx$  5) eine schwerlösliche Verbindung von der Zusammensetzung Cu(C<sub>4</sub>H<sub>3</sub>SCOO), H<sub>2</sub>O. Ber. 35,7% C, 2,40% H, 18,93% Cu, 5,37% H<sub>2</sub>O; gef. 36,0% C, 2,4% H, 18,8% Cu, 5,2% H<sub>2</sub>O.

Kupfer (II) - 2 - thiophencarboxylatmonohydrat weist schon bei der Zimmertemperatur ein magnetisches Moment auf, das markant niedriger als der "Spinonly"-Wert (1,73 B.M.) für  $\text{Cu}^{2^+}$  ist.  $\mu_{\text{eff}}^{293,3^{\circ}K} = 1,32$ B.M. (ermittelt anhand der Beziehung  $\mu_{\rm eff}=2,83$  $[(\chi_{\rm M}^{\rm korr} - N\alpha)T]^{1/2}$ , wobei für  $N\alpha$  der Wert  $60 \cdot 10^{-6}$ cgs. mol<sup>-1</sup> eingesetzt wurde <sup>2</sup>).

Das Elektronenspektrum des festen Cu(C<sub>4</sub>H<sub>3</sub>SCOO)<sub>2</sub> ·H<sub>2</sub>O (Nujol-Suspension) weist eine Absorptionsbande mit der Lage des Maximums bei  $\bar{\nu} = 14,64$  kK ( $\lambda =$ 683 nm) auf, die d-d-Übergängen zugehört. Eine weitere Bande, die sich als eine Schulter bei  $\bar{\nu} \approx 27$ kK ( $\lambda \approx 370 \, \text{nm}$ ) findet, kann im Einklang mit den magnetischen Eigenschaften der Spin-spin-Wechselwir-

kung zugeschrieben werden.

Das IR-Spektrum dieses Komplexes (Nujol-Suspension) weist in der Lage der Bande der asymmetrischen COO-Valenzschwingung im Vergleich mit Narium-2thiophencarboxylat eine geringe Verschiebung in Richtung nach höheren Wellenzahlen ( $\bar{\nu} = 1572 \text{ cm}^{-1} \text{ bzw}$ .  $1603 \text{ cm}^{-1}$ ) auf.

Das EPR-Spektrum (derivativ) des untersuchten Komplexes (polykristallinisches Präparat) wurde bei der Zimmertemperatur gemessen (x-Band;  $\nu = 9131$ 

Sonderdruckanforderungen an Doz. Dr. J. KRÄTSMÁR-ŠMOGROVVIČ, CSc. Lehrstuhl f. anorgan. und org. Chemie d. Pharmazeut. Fakultät UK, Bratislava, ul. Kalinćiakova 8, ČSSR.

Mc.sec<sup>-1</sup>). Das Spektrum weist drei Linien auf, mit den Lagen der Zentren bei  $H_{\rm I}=300\,{\rm G},\ H_{\rm II}=4588\,{\rm G},$  $H_{\rm III}$  = 5830 G. Lage der Dublett-Linie:  $H_{\rm II}^{(1)}$  = 4512 G,  $H_{\rm II}^{(2)}$  = 4659 G. Das magnetische Spektrum des Cu(C<sub>4</sub> H<sub>3</sub>SCOO), H<sub>2</sub>O ist also für Zweikern-Kupfer (II) Komplexe typisch, in denen im Rahmen der isolierten Paare der Cu2+-Ionen eine starke isotrope Austauschwechselwirkung zur Geltung kommt, die zur Entstehung des energetisch niedrigeren Singulett- (S=0) und höheren Triplettzustandes (S=1) führt. Das Spektrum wurde mit Hilfe des Spin-Hamiltonoperators 3

$$\hat{\mathcal{H}} = g_{\perp} \beta (H_{x} \hat{S}_{x} + H_{y} \hat{S}_{y}) + g_{\parallel} \beta H_{z} \hat{S}_{z} + D \hat{S}_{z}^{2} + E(\hat{S}_{x}^{2} - \hat{S}_{y}^{2})$$

interpretiert, wobei S=1 ist; E und D sind Feinstrukturparameter, die mit der Spaltung des paramagnetischen Tripletts im magnetischen Null-Feld zusammenhängen. Die Parameter des Spin-Hamiltonoperators sind wie folgt:  $g_{\parallel} = 2,358, g_{\perp} = 2,064, D = 0,337 \text{ cm}^{-1}, E = 0,004 \text{ cm}^{-1}; g = [1/3(g_{\parallel}^2 + 2g_{\perp}^2)]^{1/2} = 2,167.$  Im Spektrum dieses Komplexes wurde bei dem den Werten  $g \approx 2$  entsprechenden H kein Signal beobachtet. Das bedeutet, daß ähnlich wie das Kupfer(II)-acetatmonohydrat 4 nicht einmal diese Verbindung eine Beimischung von einkernigen Struktureinheiten enthält.

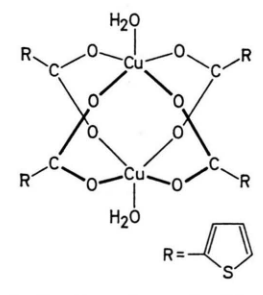


Abb. 1. Strukturschema des Komplexes  $[Cu_2(C_4H_3SCOO)_4H_2O)_2].$ 

\* Lehrstuhl für anorganische und organische Chemie der Pharmazeutischen Fakultät

Lehrstuhl für experimentelle Physik der Naturwissenschaftlichen Fakultät an der Komenský-Universität, Bratislava, ČSSR